Выводы

- 1. Установлено, что прогиб вала и дисбаланс системы ротор AБУ зависят от отношения массы жидкости к суммарной массе ротора, характеризующего жидкостное автобалансирующее устройство.
- 2. При внезапном переходе угловой скорости через критическую рассмотренное АБУ увеличивает

СПИСОК ЛИТЕРАТУРЫ

- Епишев Л.В. О динамической неустойчивости вращающегося ротора при неполном наливе жидкости // Научные доклады высшей школы. Машиностроение и приборостроение. – 1959. – № 2. – С. 66–74.
- Дерендяев Н.В., Сандалов В.М. Об устойчивости стационарного вращения цилиндра, частично заполненного вязкой несжимаемой жидкостью // Прикладная механика и математика. — 1982. — Т. 46, вып. 4. — С. 578—586.
- 3. Диментберг Ф.М. Изгибные колебания вращающихся валов. М.: Изд-во АН СССР, 1959. 246 с.

- вибрацию ротора, а при изменении частоты вращения в закритической области уменьшает, что подтверждается опытом эксплуатации АБУ.
- 3. Приведенные формулы позволяют вычислить предельное значение дисбаланса системы и минимизировать его при конструировании АБУ для роторов.
- 4. Рубановский В.Н., Самсонов В.А. Устойчивость стационарных движений в примерах и задачах. М.: Наука, 1988. 304 с.
- Нестеренко В.П. Автоматическая балансировка роторов приборов и машин со многими степенями свободы. – Томск: Изд-во Томского ун-та, 1985. – 85 с.
- 6. Гусаров А.А. Автобалансирующие устройства прямого действия. М.: Наука, 2002. 119 с.
- 7. Андрейченко К.П. Динамика поплавковых гироскопов и акселерометров. М.: Машиностроение, 1987. 128 с.
- Лыков А.В. Теория теплопроводности. М.: Высшая школа, 1967. – 599 с.

УДК 621.833

СОЗДАНИЕ РУЧНОЙ МАШИНЫ С ВОЛНОВОЙ ПЕРЕДАЧЕЙ И ИССЛЕДОВАНИЕ ЕЕ РАБОТОСПОСОБНОСТИ

В.С. Коротков

Томский политехнический университет E-mail: kvs@tpu.ru

Дано описание двух вариантов конструкции и техническая характеристика ручного электробура, в приводе которого использован коллекторный электродвигатель с волновой передачей. Представлен метод автоматизированного выбора мощности двигателя. Приводятся результаты испытаний.

На современном этапе рыночная реформа требует обеспечить широкую гамму высокопроизводительного механизированного инструмента с высокими потребительскими свойствами. Интенсификация рабочих процессов сопровождается повышенными требованиями, предъявляемыми к новой технике. В данных условиях развития экономики отечественные разработки должны быть конкурентоспособными на мировом рынке и не уступать по своим техническим характеристикам зарубежным аналогам. В ручных машинах различных типов необходимо получить экономию энергии, снизить материалоемкость, повысить качество выполняемых работ и улучшить условия труда оператора. Исследования, направленные на создание ручной машины статического действия с высоким крутящим моментом на рабочем органе и на улучшение эксплуатационных характеристик ручных машин такого класса, являются актуальными для строительства и сельского хозяйства.

В настоящее время в классификации ручных машин по назначению и области применения, соответствующей действующему стандарту, нет ручной машины предназначенной для бурения грунтов (рис. 1) [1].

В строительстве и сельском хозяйстве существуют такие виды работ, которые требуют достаточно высокого крутящего момента на рабочем органе. Например, бурение ям под столбы ограждения, фундамент для мелких построек и эстакад, бурение шпуров для взрывных работ и проведения инженерных изысканий и т.п.

Поэтому с целью расширения номенклатуры выпускаемых ручных машин (PM) разработана конструкция ручной машины электробур с волновой зубчатой передачей (ВЗП), предназначенной для бурения грунтов I-IV категории по классификации Госстроя (рис. 2) [2]. Совокупность существенных признаков устройства не известна из уровня техники [3].

Преимущественное распространение в приводах PM (до 70%) получили однофазные коллекторные двигатели с двойной изоляцией мощностью 60...2000 Вт, с частотой вращения якоря 200...300 с $^{-1}$. Эти двигатели характеризуются высокой удельной мощностью на единицу массы, способностью выдерживать кратковременные перегрузки, нечувствительностью к колебаниям напряжения в питающей электросети, невысоким уровнем пускового тока (не бо-

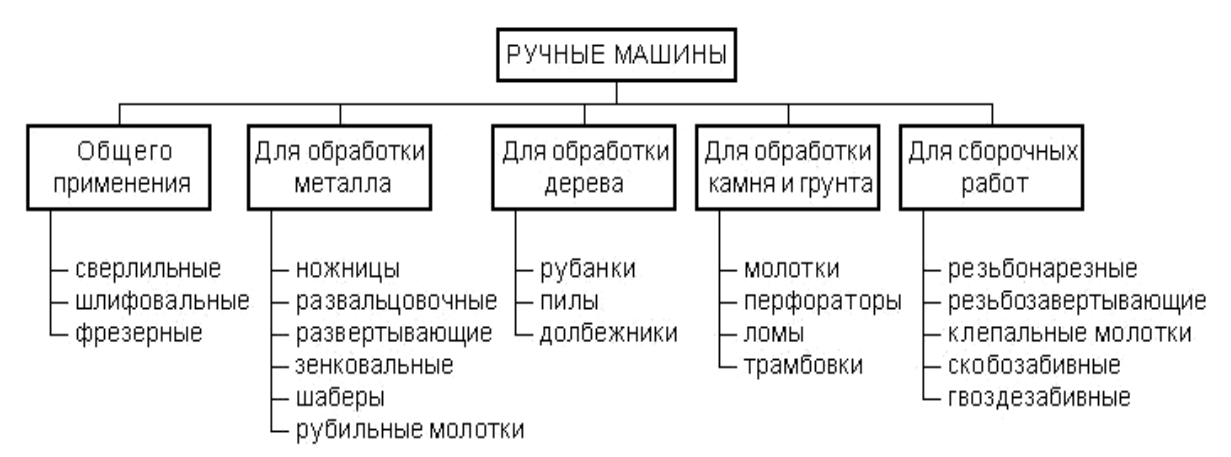


Рис. 1. Классификация ручных машин по назначению и области применения

лее четырехкратного номинального значения). Они безопасны в эксплуатации, могут работать от сети переменного и постоянного тока, для их питания не требуется громоздких трансформаторов или преобразователей частоты [4].

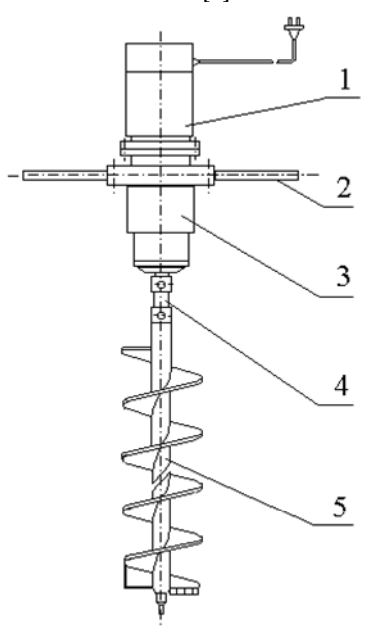


Рис. 2. Электробур: 1) коллекторный двигатель; 2) рукоятки; 3) волновой редуктор; 4) муфта; 5) шнековый рабочий орган

Одним из путей повышения надежности, уменьшения габаритных размеров и массы машин, а также снижения расходов на ее эксплуатацию является использование прогрессивных типов механических передач энергии от двигателя к исполнительному устройству. К таким типам передач относится, в частности, волновая зубчатая передача и волновая передача с промежуточными звеньями (ВППЗ).

ВЗП в диапазоне передаточных отношений 80...400 выполняется одноступенчатой и может конкурировать в отношении массы, габаритных размеров, простоты конструкции и КПД с лучшими образцами планетарных передач [5].

Основными достоинствами ВППЗ являются высокое передаточное отношение 6...60 в одной ступе-

ни. Редукторы с волновой передачей с промежуточными звеньями выдерживают многократные кратковременные перегрузки практически без упругих деформаций, имеют небольшие габариты и массу, высокий КПД в сравнении с зубчатыми редукторами других типов. За счет большой жесткости кинематических звеньев редукторов, общий угловой зазор составляет до 0,5° при нормальной точности изготовления [6].

На рис. 3 представлена конструкция привода РМ электробур. Вращательное движение якоря двигателя — 1 через соединительное устройство передается на вал дискового генератора — 2. Диски — 3, совершая плоскопараллельное движение относительно друг друга, приводят к эффекту обкатывания гибкого колеса — 5 по жесткому колесу — 4. Причем направление вращения якоря двигателя и гибкого колеса волновой передачи становится противоположно. Зубчатая муфта — 6 передает крутящий момент на шпиндель — 7.

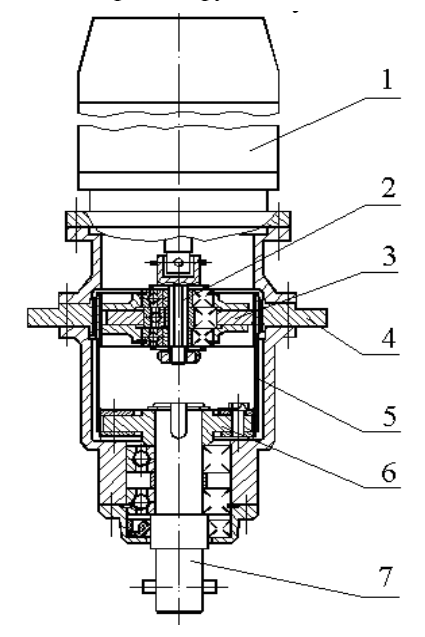


Рис. 3. Конструкция привода РМ с ВЗП: 1) коллекторный двигатель; 2) вал генератора волн; 3) диски генератора волн; 4) жесткое колесо; 5) гибкое колесо; 6) зубчатая муфта; 7) шпиндель

Передаточное отношение волновой передачи данного типа определяется по зависимости [7]:

$$U=-\frac{z_2}{z_1-z_2},$$

где z_1 — число зубьев жесткого колеса; z_2 — число зубьев гибкого колеса.

Благодаря многопарности зацепления (нагрузку могут передавать до 50 % всех пар зубьев) нагрузочная способность волновой передачи выше, чем планетарной.

Критериями работоспособности волновой зубчатой передачи являются: прочность гибкого колеса, прочность подшипников генератора, жесткость генератора и жесткого колеса, износ зубьев и тепловой режим [8].

Проверочные расчеты прочности гибкого колеса показали, что для обеспечения равнопрочности гибкого колеса ВЗП и коллекторного двигателя, ресурс которого составляет 500 ч, необходимо диаметр гибкого колеса определять по зависимости:

$$d = k_{\nu} c \sqrt[3]{\frac{T_p \psi}{[\tau]}}, MM$$

Коэффициент k_{ν} для волновой передачи электробура при диаметре гибкого колеса 80 мм имеет линейную зависимость в диапазоне частоты вращения волнообразователя 12000...18000 мин⁻¹.

Конструкция ВЗП для коллекторного двигателя отличается новизной и имеет изобретательский уровень [9].

Для создания электробура с оптимальной частотой вращения рабочего органа 250...350 мин⁻¹, позволяющего эффективно осуществлять рабочий процесс в грунтах с включениями гальки и гравия при небольшой массе и размерах машины, спроектирована конструкция привода с волновой передачей с промежуточными звеньями. В сравнении с ручной машиной электробур с ВЗП данное устройство имеет меньший габаритный размер в осевом направлении, за счет этого несколько снижена и общая масса РМ.

Техническая характеристика ручной машины электробур с ВЗП и ВППЗ представлена в табл. 1.

Таблица 1. Краткая техническая характеристика ручной машины электробур с волновой передачей: N_{дв}=0,75 кВт; п_{вв}=15000 мин⁻¹

Привод	U	п _{р.о.} , мин-1	<i>Т_{р.о.},</i> Н·м	Н, м	Масса, кг
с ВЗП	80	187	22	3	7,0
с ВППЗ	60	250	17	2	6,7

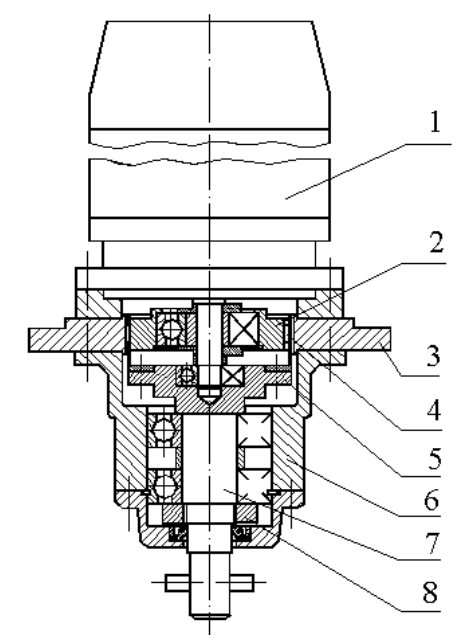


Рис. 4. Конструкция привода РМ с ВППЗ: 1) коллекторный двигатель; 2) диск генератора волн; 3) профильный венец; 4) промежуточные тела качения; 5) сепаратор; 6) корпус; 7) выходной вал; 8) гайка

С целью повышения производительности расчетов при создании новой техники и для прогнозирования расхода мощности двигателя на стадии эксплуатации создан метод автоматизированного выбора мощности двигателя ручной машины электробур в зависимости от известных или предполагаемых физико-механических свойств грунтов и вида рабочего органа (р.о.) [10].

Уравнения рабочего процесса при стремлении получить максимальную глубину бурения в случае, когда $N_{\rm de}$ =const можно записать в виде:

$$\begin{split} N_{\partial\theta} &= f(T1, T2, \eta, n); \, N_{\partial\theta} = \frac{2\pi \, n \, (T1 + T2)}{\eta}; \\ & \begin{cases} f(H) \to \max; \\ f(\eta) \to \max. \end{cases} \end{split}$$

где: $N_{\partial a}$ — мощность двигателя; H — глубина бурения; T1 — момент, необходимый для разрушения грунта в забое; T2 — момент, необходимый для подъема грунта на поверхность; n — частота вращения рабочего органа; η — КПД волнового редуктора.

Тогла

$$\begin{cases} H = f(T2, D, \beta, \mu 2) \rightarrow \max; \\ \eta = f(N_E, N_{\partial \theta}) \rightarrow \max. \end{cases}$$

$$\begin{cases} H = \frac{T2K_p}{0,125 \pi K1 D(D^2 - d^2) \psi \rho g (tg\beta + \mu 2)}; \\ \eta = \frac{N_E}{N_{\partial \theta}}; \end{cases}$$

где: $N_{\scriptscriptstyle B}$ — мощность, затрачиваемая на процесс бурения; D — диаметр шнека; β — угол подъема винтовой линии шнека; $\mu 2$ — коэффициент трения

	11					1/	1/		N.4.	N 4	П	
	полезной і	мощностьк	o N _{дв} =750 I	Вт в зависи	мости от ті	ипа разраб	атываемог	о грунта				
Таблица 2. Рекомендуемые эксплуатационные характеристики ручнои машины электробур на базе коллекторного двигателя с полезной мощностью № =750 Вт в зависимости от типа разрабатываемого грунта												

Тип грунта	Частота враще- ния р.о., мин ⁻¹	Плотность грунта, кг/м³	Диаметр шнека, мм	Толщина стружки, мм	Глубина бурения, м	К-т тре- ния грун- та по ста- ли	К-т внеш. трения грунта по грунту	Осевое усилие, Н	Момент разруше- ния грун- та, Н∙м	Момент подъема грунта, Н∙м	Произво- дитель- ность, м/ч
I — почва супесь	187 187 187 250	1200 1400 1400 1400	200 160 120 100	4 5 10 12	0,35 1 1 1	0,450,5	0,60,75	323 323 485 485	19,19 16,64 18,32 15,60	3,79 6,24 3,20 1,58	0,75 0,93 1,87 2,25
II – сугли- нок	187 187 250 250	1400 1600 1600 1600	120 100 100 100	6 8 6 7	2 3 3 2	0,50,6	0,750,85	459 500 383 446	16,84 16,34 11,27 14,37	6,05 6,30 6,01 2,68	1,12 1,50 1,50 1,75
III – креп- кий сугли- нок глина	187 187 250	1600 1900 1900	120 100 100	4 6 4	2 3 3	0,6 0,65	0,850,9	408 500 383	15,42 16,73 11,15	7,24 6,03 6,00	0,75 1,12 1,12
IV — креп- кая глина	187 250 187 250	2200 2200 2500 2500	100 100 76 76	4,5 3 6 6	3 3 5 5	0,650,7	0,90,95	478 319 485 485	14,98 9,94 16,44 11,70	7,34 7,10 6,18 5,87	0,84 0,75 1,12 1,50

 η =0,6 ⁻ КПД волновой передачи при $n_{\rm nB}$ =15000 мин $^{-1}$; β =15 $^{\circ}$ ⁻ угол подъема винтовой линии шнека

грунта по грунту; $K_{\!\scriptscriptstyle p}$ — коэффициент разрыхления грунта; K1 — коэффициент трения шнека о стенки скважины; ψ — коэффициент заполнения шнека; d — диаметр штанги; ρ — плотность грунта.

Момент разрушения грунта в забое T1 и момент подъема грунта на поверхность T2 выражаются аналитическими зависимостями [2]:

$$\begin{cases} T1 = 62.5 D^2 \sigma_{\Pi} h_c z_n (1 + \mu 1 K_3); \\ T2 = 0.125 \pi K1 D(D^2 - d^2) H \psi \rho K_p^{-1} g (tg\beta + \mu 2); \end{cases}$$

где: $\mu 1$ — трения грунта о сталь; h_c — толщина стружки; $z_{\scriptscriptstyle d}$ — число кромок резания; $\sigma_{\scriptscriptstyle II}$ — приведенная прочность грунта; $K_{\scriptscriptstyle 3}$ — коэффициент затупления инструмента.

При $N_{\partial\theta}$ =const; $n=n_{onm}$; T1+T2=const.

Тогда для достижения цели необходимо иметь:

$$\frac{T2}{T1} \rightarrow \max; \begin{cases} T2 \rightarrow \max; \\ T1 \rightarrow \min. \end{cases}$$

Максимальную глубину бурения получаем в случае, когда следующие величины стремятся принять минимально возможные значения:

$$\begin{cases} (h_c, z_{\scriptscriptstyle A}, D, \sigma_{\scriptscriptstyle \Pi}, \mu 1, K_{\scriptscriptstyle 3}) \to \min; \\ (\rho, \beta, \mu 2, K_{\scriptscriptstyle p}, K 1, \psi) \to \min. \end{cases}$$

На основе представленных зависимостей разработан алгоритм решения задачи по определению мощности двигателя РМ электробур и написана программа расчета в среде программирования Delphi 4. По результатам расчета построены зависимости, характеризующие влияние различных факторов на рабочий процесс механизма. Некоторые из них представлены на рис. 5. Рекомендуемые эксплуатационные характеристики РМ сведены в табл. 2.

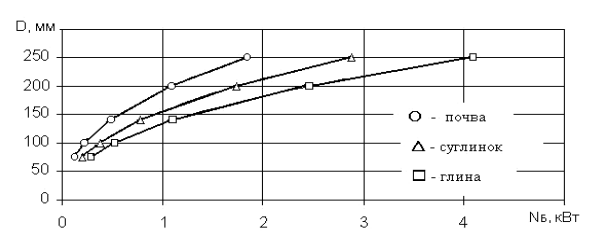


Рис. 5. Зависимость мощности двигателя от диаметра шнека при глубине бурения H=1 м (толщина стружки $h_c=5$ мм)

На базе коллекторного двигателя с полезной мощностью $0.75~\mathrm{kBT}$ изготовлен экспериментальный образец привода с волновой зубчатой передачей с передаточным отношением U=80, который прошел стендовые испытания.

В ходе испытаний привод подтвердил свою работоспособность. Шумовая и вибрационная характеристики соответствуют существующим стандартам и приводятся в табл. 3.

Таблица 3. Уровни звукового давления и виброскорости РМ на среднегеометрических частотах октавных полос

Уровень, дБ	Частота, Гц									
уровень, дв	31,5	63	125	250	500	1000	2000	4000		
Допустимый уровень звукового давления по ГОСТ 12.2.030-83	-	107	100	94	91	92	92	94		
Фактический	-	70	68	75	90	89	92	94		
Допустимый уровень виброскорости по СН 3041-84	117	114	111	109	105	102	-	-		
Фактический	97	85	98	109	98	89	-	-		

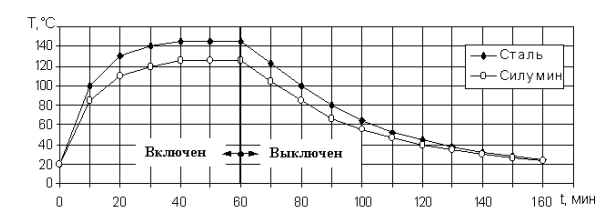


Рис. 6. Динамика изменения температуры материала корпуса привода

Тепловая характеристика привода исследована на стенде при номинальной нагрузке. После наступления теплового баланса, привод отключался от сети переменного тока, и фиксировалась динамика охлаждения механизма, рис. 6.

В качестве смазывающего материала рекомендуется использовать жидкое моторное масло M-5, M-8, M-10 с противоизносными присадками или пластичную термостойкую (-50...180 °C) комплексную кальциевую смазку ВНИИНП-207, ЦИАТИМ-221 (-60...150 °C) и т.п.

Результаты, полученные при стендовых испытаниях, подтверждают работоспособность привода для ручной машины электробур на базе коллекторного двигателя с волновой зубчатой передачей.

СПИСОК ЛИТЕРАТУРЫ

- ГОСТ 16436-70. Машины ручные пневматические и электрические. Термины и определения. М., 1971.
- Машины для земляных работ / Д.П. Волков, В.Я. Крикун, П.Е. Тотолин и др. – М.: Машиностроение, 1992. – 448 с.
- СПМ 4995 Россия. МПК¹ Е21В 3/02. Электробур с волновым редуктором / В.С. Коротков. № 95122179/20; Заявлено 05.12.95; Публ. 16.09.97, Бюл. № 9.
- Справочник по электрическим машинам: В 2 т. / Под ред. Б.К. Клокова, И.П. Копылова. – М.: Энергоатомиздат, 1988. – Т. 2. – 1989. – 688 с.
- Волков Д.П., Крайнев А.Ф. и др. Волновые зубчатые передачи.
 – Киев: Техника, 1976. 222 с.
- Панкратов Э.Н. Проектирование механических систем автоматизированных комплексов для механообрабатывающего производства: Практикум лидера-проектировщика. – Томск: Изд-во Том. ун-та, 1998. – 295 с.

Привод РМ с волновой передачей имеет небольшую массу (табл. 1) и по этому показателю может конкурировать с почвенным мотобуром BT-106 немецкой фирмы STIHL. Экономический эффект при производстве небольших по объему строительных работ в сравнении с отечественным мотобуром М-10 составляет 10 тыс. р. за срок службы [11]. Электросверло горное переносное ЭР14Д-2М, выпускаемое Томским электромеханическим заводом, создано на базе двигателя мощностью 1 кВт и имеет массу 16,5 кг при частоте вращения шпинделя 14,3 с $^{-1}$ [12]. Такая частота вращения рабочего органа не является оптимальной при прохождении грунтов I-IV категории шнековым способом бурения. Масса горного сверла данного типа превышает массу привода электробура с волновым редуктором более чем в 2 раза. Поэтому для проведения небольших объемов работ в пожаробезопасной среде рекомендуется использовать РМ с волновой передачей. В классификации ручных строительных машин по назначению и области применения, соответствующей ГОСТ 16436-70, такую машину можно отнести к машинам для обработки камня и грунта, дополнив классификацию новым видом ручной строительной машины – бур.

- Крайнев А.Ф. Детали машин. Словарь-справочник. М.: Машиностроение, 1992. 480 с.
- Иванов М.Н., Финогенов В.А. Волновые передачи (рекомендации по инженерным расчетам). – М.: НИИмаш, 1982. – 80 с.
- Пат. 2134827 Россия. МПК⁷ F16H 1/00. Волновая передача для коллекторного двигателя / В.С. Коротков. – № 97120085/28; Заявлено 28.11.97; Публ. 20.08.99, Бюл. № 23.
- Коротков В.С., Мартынов А.К., Панкратов Э.Н. Автоматизированный метод расчета мощности двигателя ручной машины электробур // Аппаратно-программные средства автоматизации технологических процессов. – Томск: ТГУ, 2002. – Вып. 4. – С. 127–135.
- 11. Коротков В.С. Создание и исследование работоспособности ручной машины с волновой передачей: Дис. ... канд. техн. наук: 05.05.04. Томск, 2003. 133 с.
- 12. www.icentr.com; www.temz.tomsk.ru.